

Simulation du transport et diffusion atmosphérique de pyro-météores par méthode eulérienne dans un modèle atmosphérique



35èmes journées du Groupe du RésoFeux
10 et 11 juillet 2025
ASNR, Fontenay-aux-Roses



Alberto Alonso Pinar
Alexander Filkov - Jean Baptiste Filippi¹



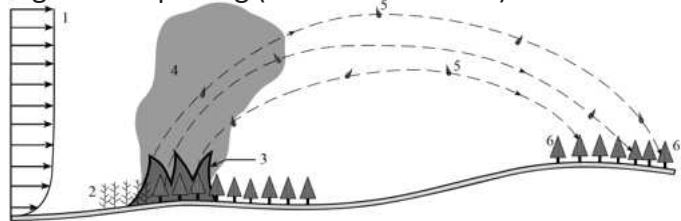
Gonfaron – Var 2021



De grandes forces d'arrachement

Introduction – Sautes de feu (Spotting)

Figure 1 – Spotting (Oliveira et al 2014).



axis-babbittpeak elev:8737' X:-69.85 Y:-5.88 Z:3.1 .CA NEU.sentz.09-02T17:47 © NV Seismo Lab 2024/09/02 17:48:51.52 ALERTWildfire.org

Bear Fire (09/2024, California). Enregistré par le Nevada
Seismological Laboratory.

Propagation du feu à l'avant du front en raison de transport de braises, mécanismes :

- Génération
- Transport
- Allumage
- Combustion
- Atmosphériques
- Topographiques

Principale cause de perte d'habitat lors des feux de forêt

Des conditions extrêmes peuvent entraîner des distances de ~ 30 km

Lacunes dans les connaissances sur le transport de brandons

Influence de la topographie

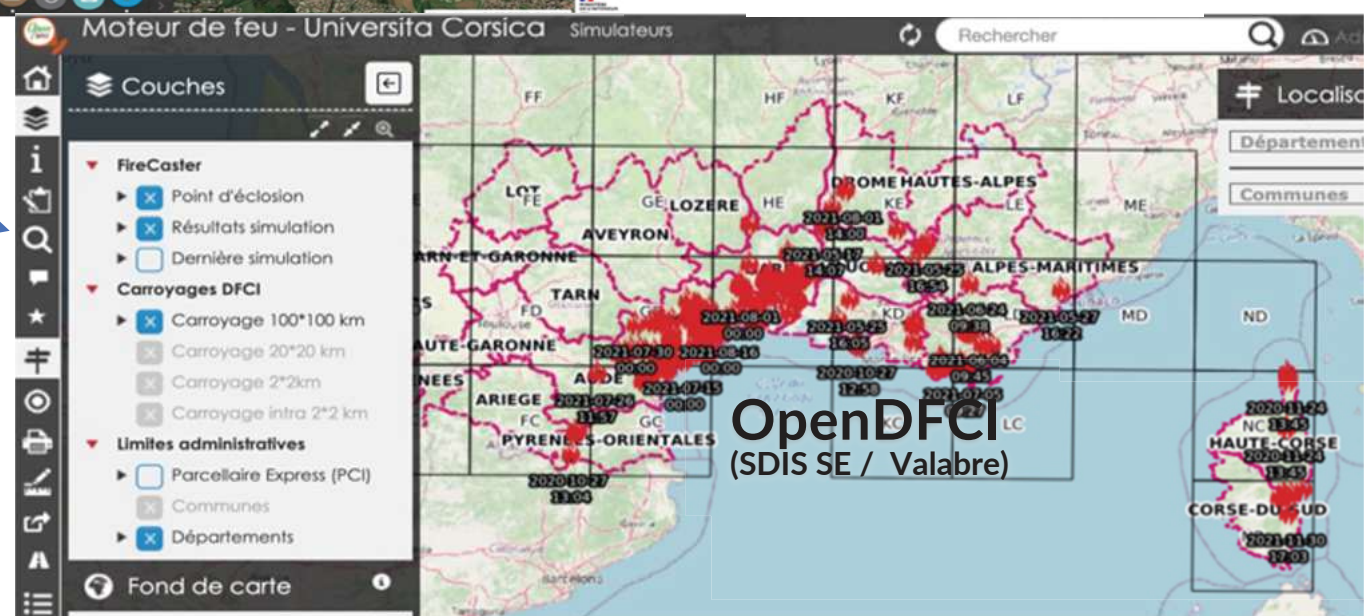
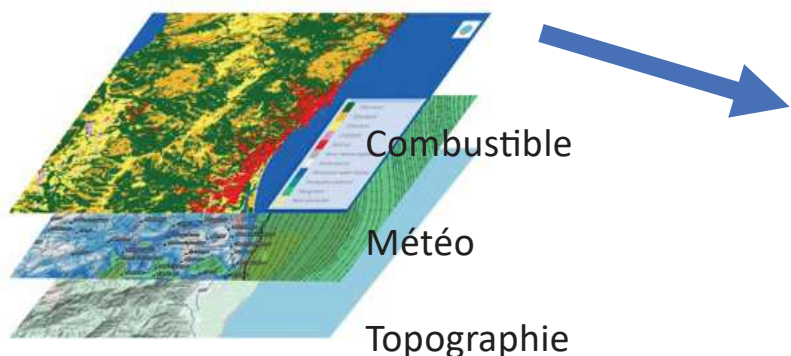
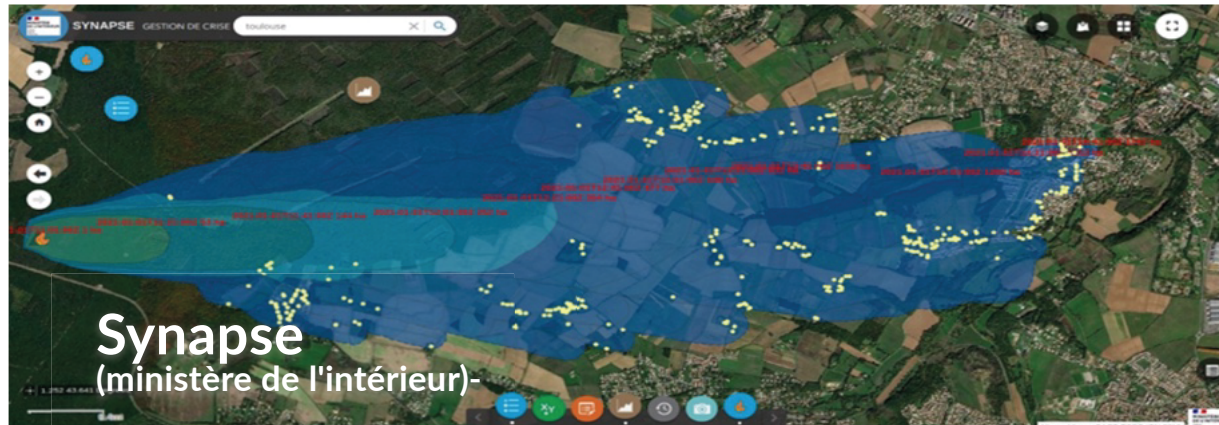
Rôle de l'atmosphère important

Objectif : 12h de prévision numérique des sautes de feu 1h après éclosion

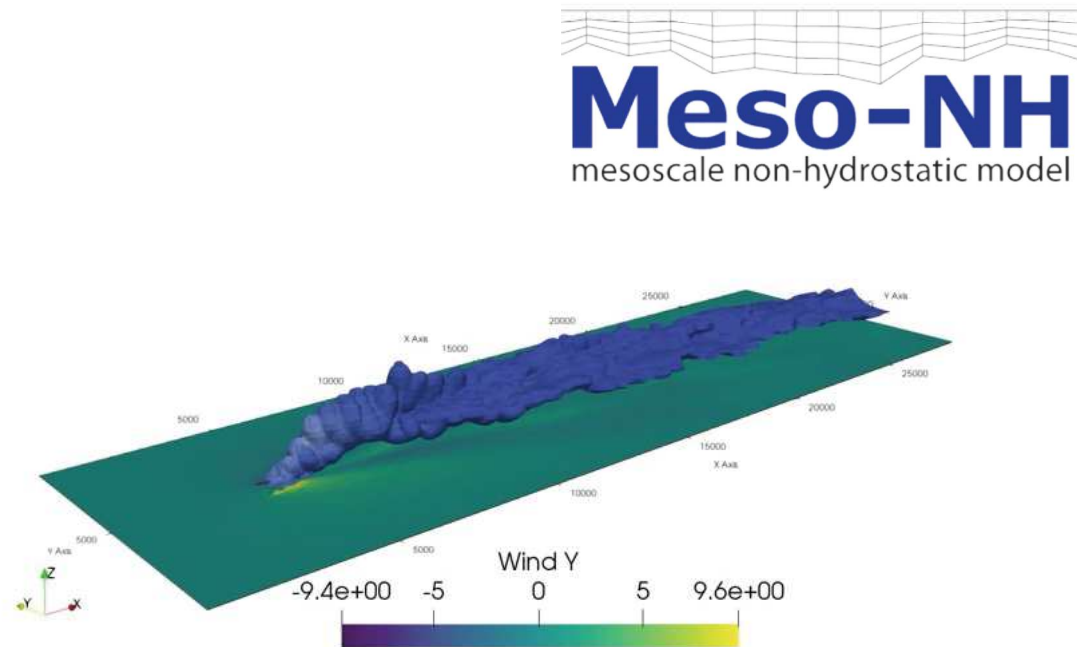
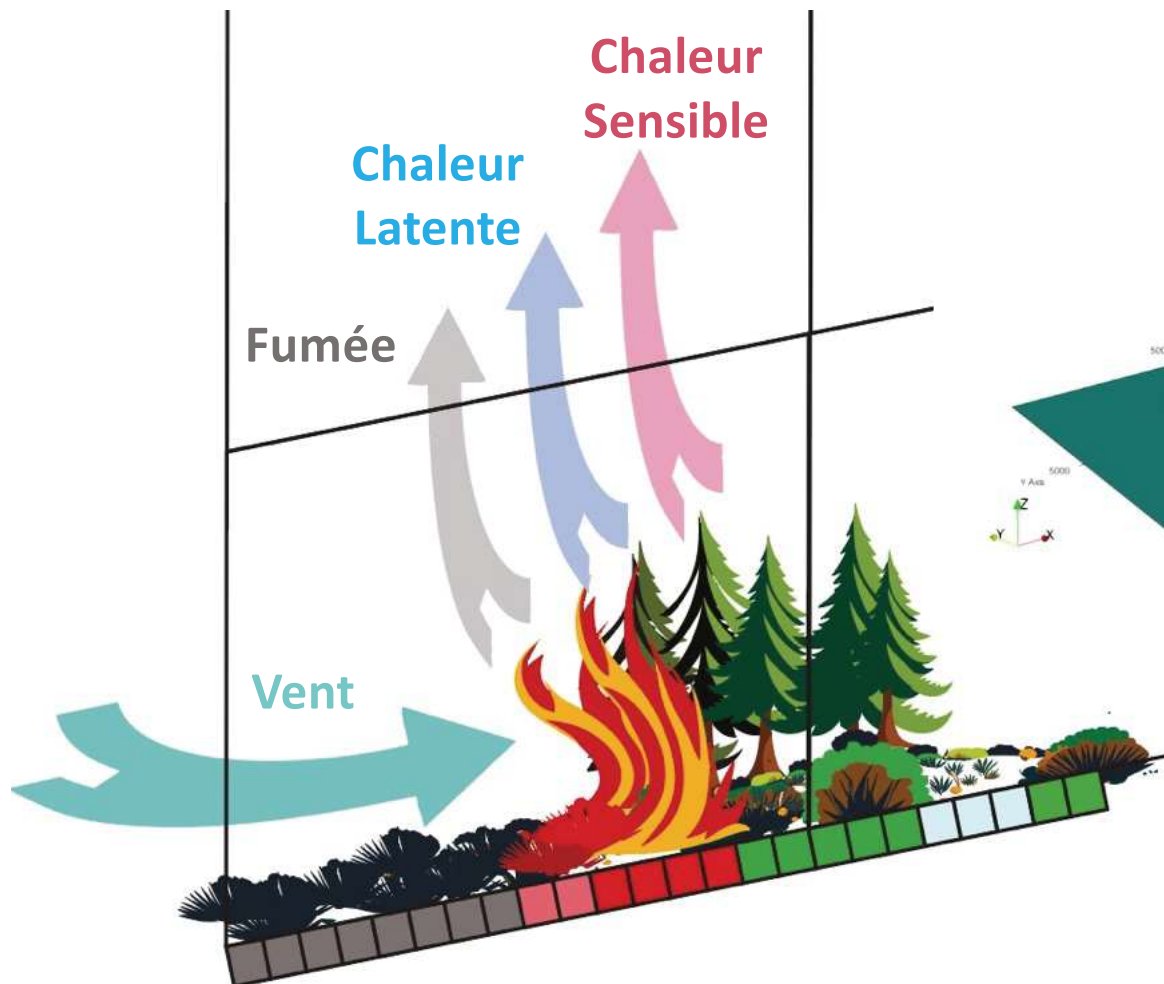
Système grande échelle complexe: Convection, Cisaillements...



Code Incendie - ForeFire (CNRS/SPE) outil opérationnel national



Couplage Feu-Atmosphère –MesoNH (CNRS/Météo-France)



Animation du panache de feu pour une référence de vent horizontale de 10m/s et un flux de chaleur local de 80kW/m². Les contours bleus représentent la teneur en humidité. Les couleurs vertes dans le sol représentent le vent de la direction Y.

Objectif : 12h de prévision numérique des sautes de feu 1h après éclosion

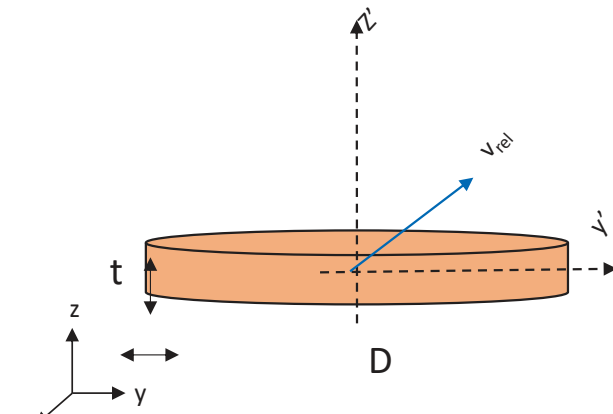
Stratégie :

- Implantation de modèles complets (ex: Sardoy et al. (2007)) (Lagrangien)
- Test des modèles complets (Lagrangien)
- Implantation et proposition de modèles réduits (Lagrangien)
- Implantation Eulérienne et couplage modèle de propagation

Modélisation complète

Transport (1) par brandon est calculé à l'aide de différents modèles

$$\frac{dx}{dt} = v, \quad \frac{d\rho V \mathbf{v}}{dt} = \mathbf{F}_D + \mathbf{F}_L + mg, \quad (1)$$



Brandon type disque

Forces aérodynamiques (Traînée (2) et Portance (3))

$$\mathbf{F}_D = \frac{1}{2} \rho_{atm} S C_D |\mathbf{v}_{rel}(t)| \mathbf{v}_{rel}(t), (2)$$

$$\mathbf{F}_L = \frac{1}{2} \rho_{atm} S C_L \frac{\mathbf{z}' \cdot \mathbf{v}_{rel}(t)}{|\mathbf{v}_{rel}(t)|} \times \mathbf{v}_{rel}(t), (3)$$

Rotation (4)

$$I \frac{d\boldsymbol{\omega}}{dt} + \boldsymbol{\omega} \times I\boldsymbol{\omega} = \delta_{cp} \mathbf{z}' \times (\mathbf{F}_D + \mathbf{F}_L), (4)$$

Combustion

Modélisation réduite

Peut on réduire cela à une durée de vie et des vitesses de chutes terminales ?

- Temps de calcul /1000 (pas de rotation, pas de calcul de trainée, combustion constante, moins de contrainte sur le pas de temps)

Vitesse de chute dépendant de la taille de la particule λ (Tarifa et al., 1965):

$$w_g = \sqrt{2g \frac{\rho_0}{\rho_{atm}} \lambda}$$

Prise en compte de l'Energie cinétique turbulente (TKE) en sous maille pour la diffusion :

$$v_x = u_x + \gamma TKE^{0.5}$$

$$v_y = u_y + \gamma TKE^{0.5}$$

Tests sur différentes topographies

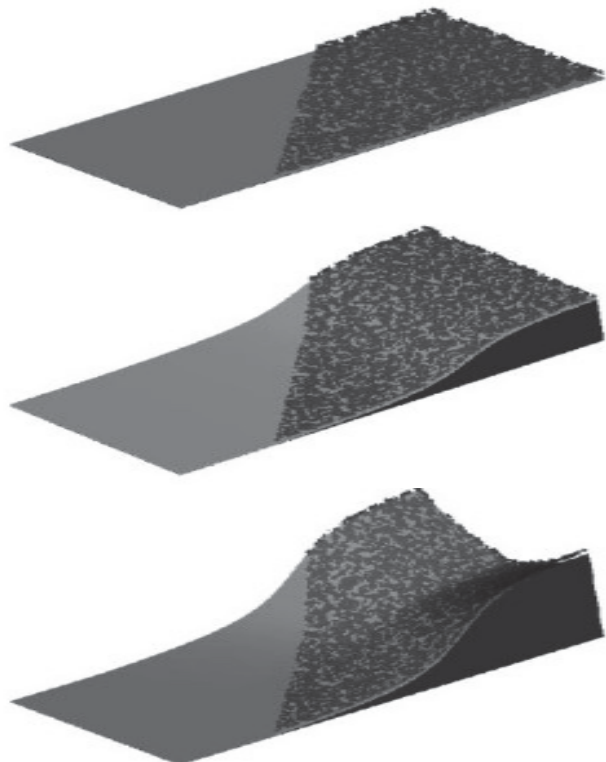


Figure 5 - Topographies used in the simulations. Extracted from *Coupled influences of topography and wind on wildland fire behaviour*, Linn et al., 2007.

Topographies

- Plat
- Colline
- Canyon

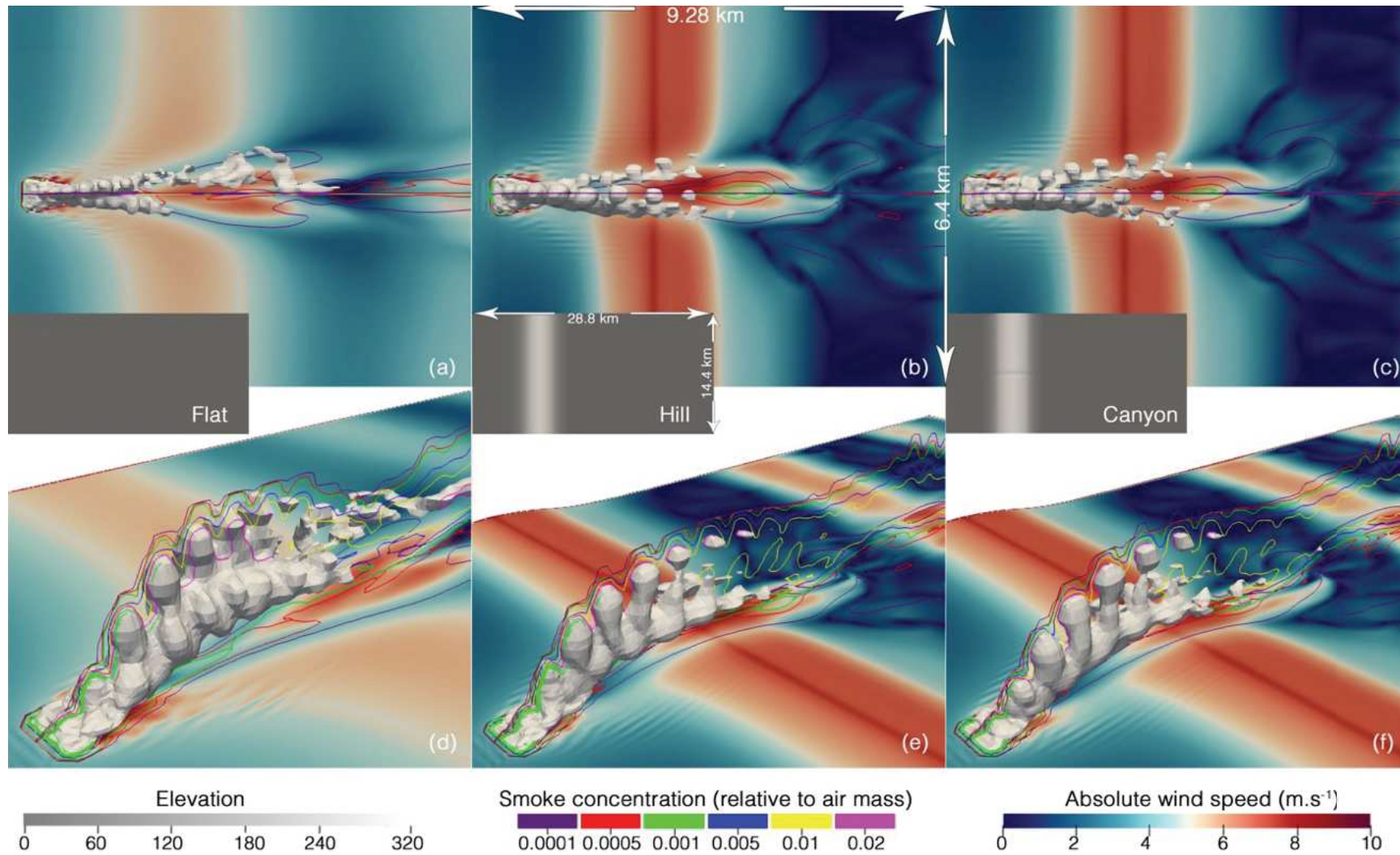
Atmosphère

- Stable
- Instable

Taille de domaine:

30km*15km Hauteur 10km
Grille 360*180*60

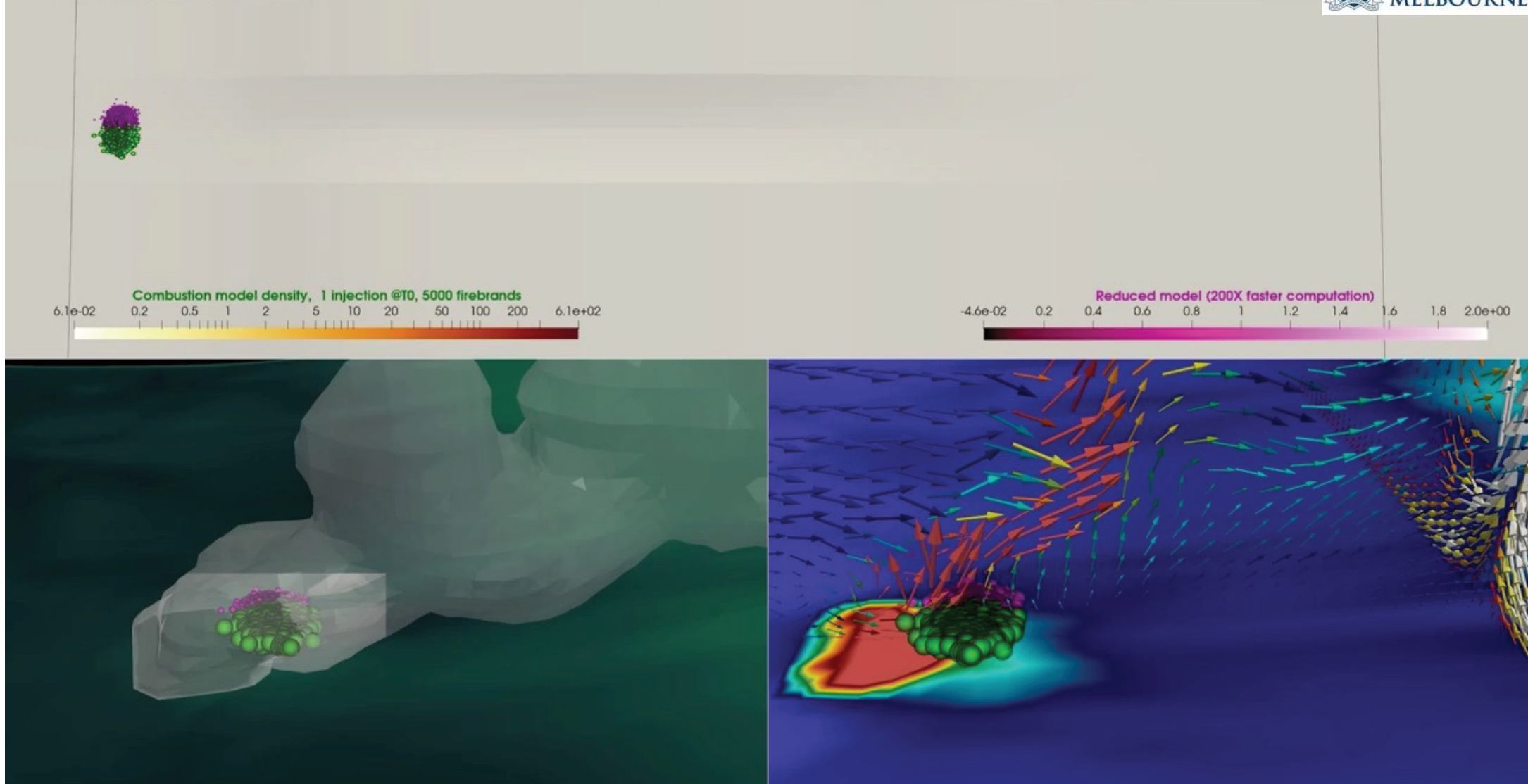
Impacts – Flat / Hill / Canyon



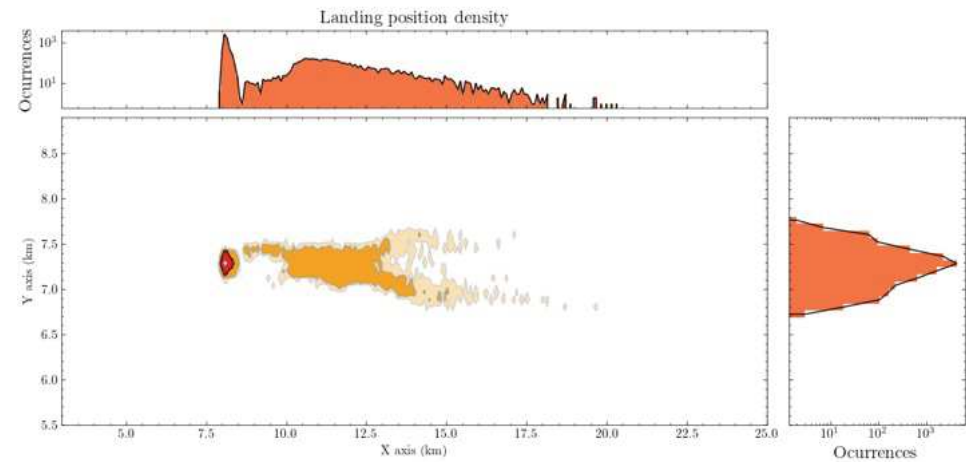
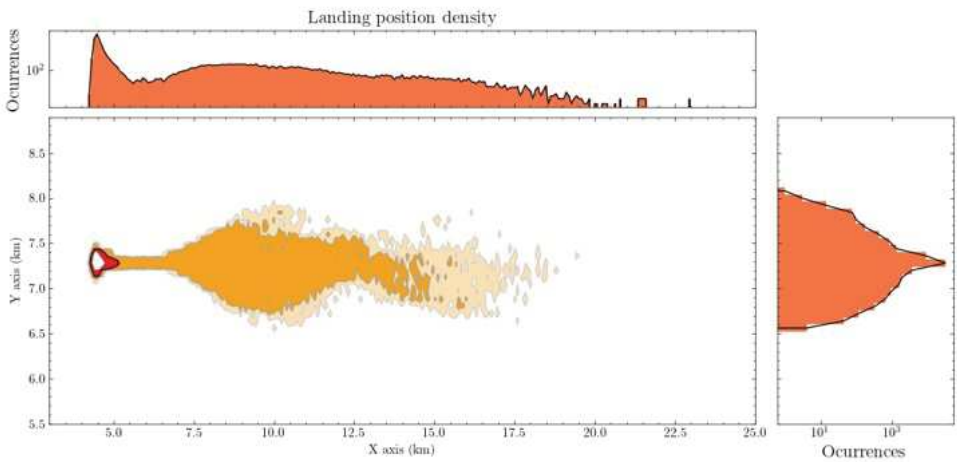
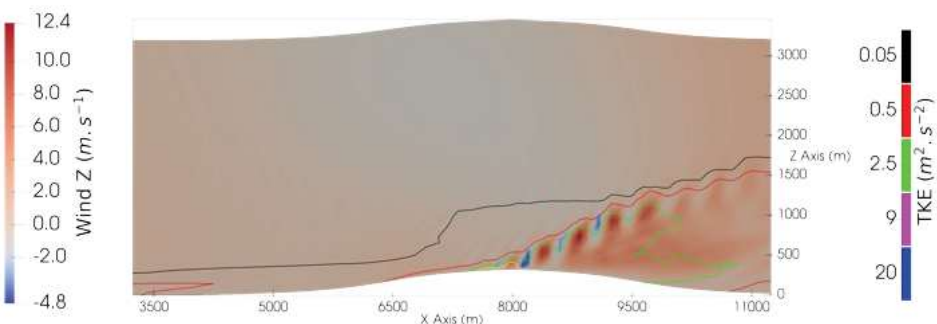
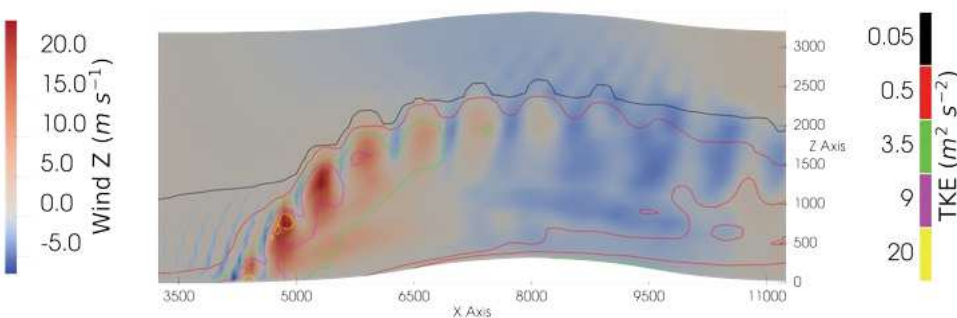
Time: 0s

Spot Program - CNRS@Corsica/U.Melbourne A.Alonso-Pinar, J.B. Filippi, H.N NGuyen, A.Filkov

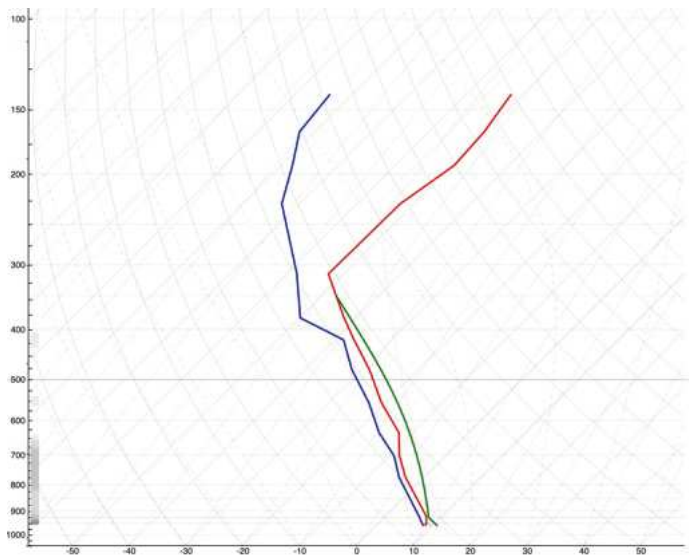
Les brandons sont transportés dans des courants ascendants



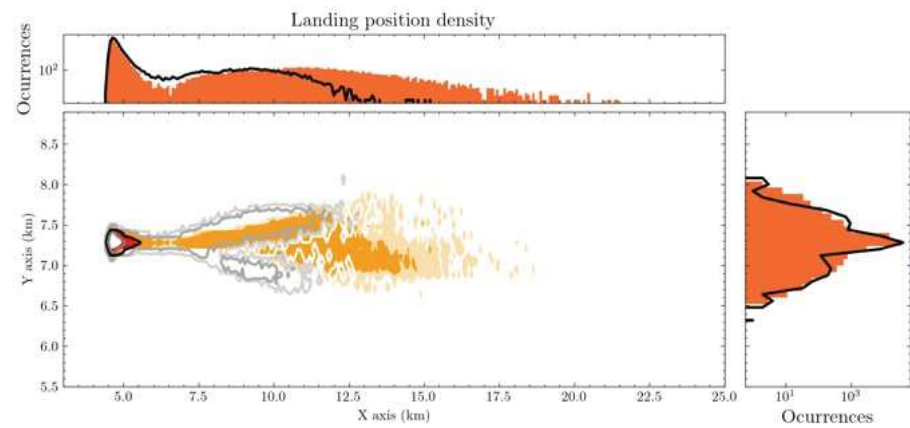
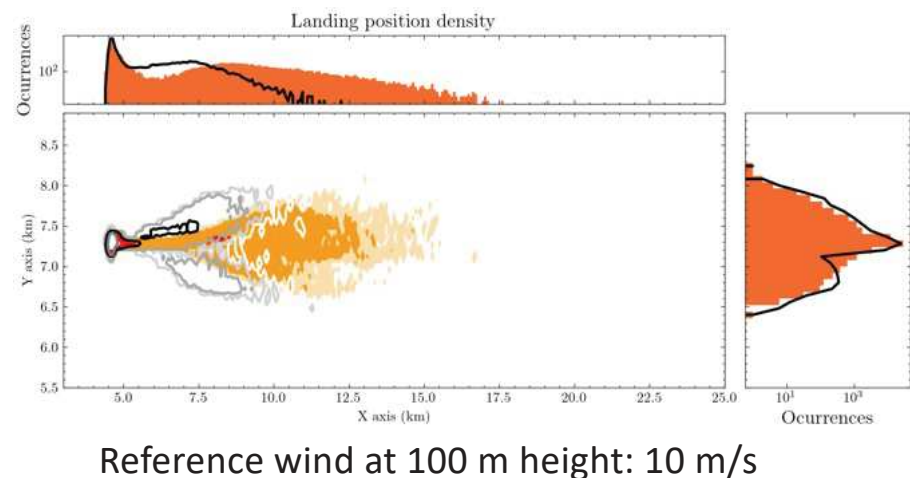
Impacts topographiques – Colline



Impacts atmosphériques – Situation instable



Skew-T diagram used in the idealized unstable atmosphere simulation.



Formulation Eulerienne

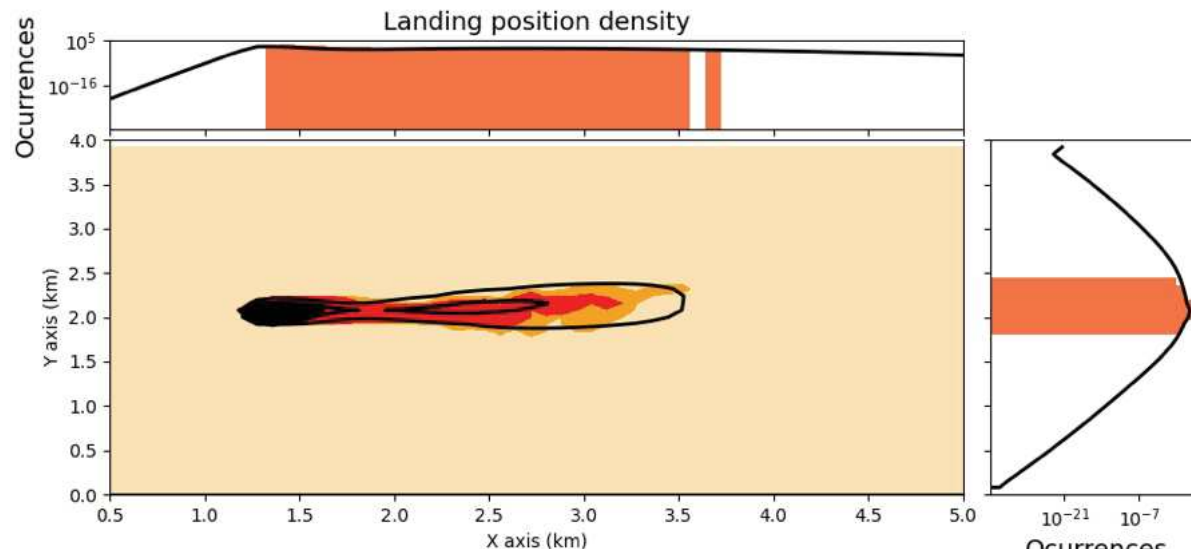
Brandons considéré comme un champ de densité, mais avec une masse (plusieurs champs de densité pour plusieurs tailles de brandons)

$$\bullet \frac{\partial(\rho_{ref} c_i)}{\partial t} + \nabla(\rho_{ref} c_i \mathbf{U}) = \rho_{ref} S_i \quad (1)$$

Age de la particule (durée de combustion) comme une autre champ diffuse/transporté/consommé (Moyenne des distributions de taille)

Approche similaire aux schémas 2 moments utilisés pour les particules dans modèles atmosphériques (DUST)

Comparaison Lagrangian - Eulerien



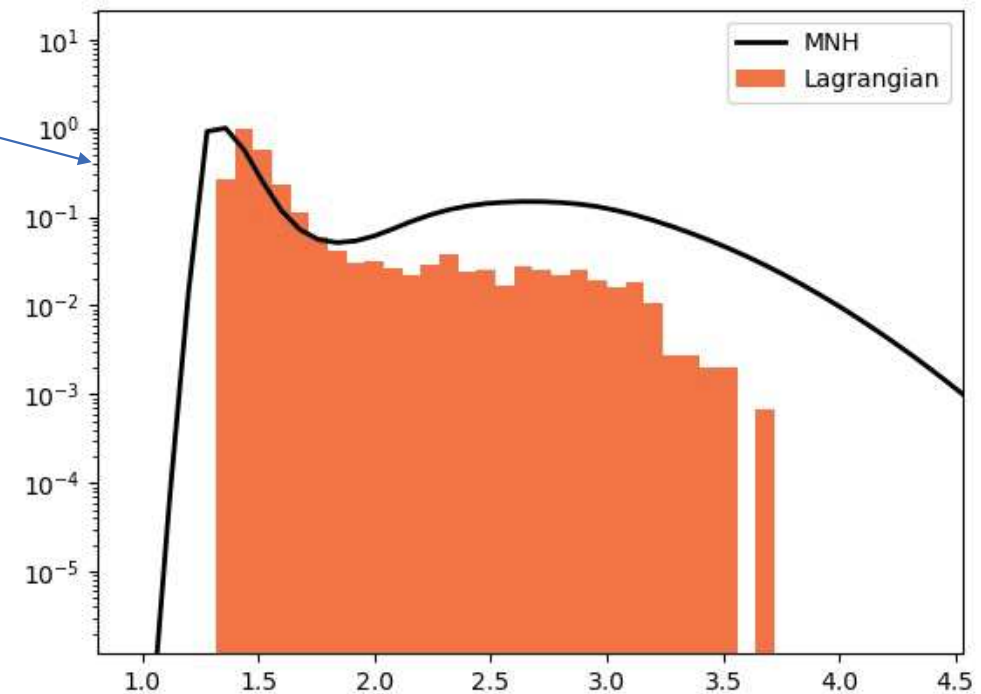
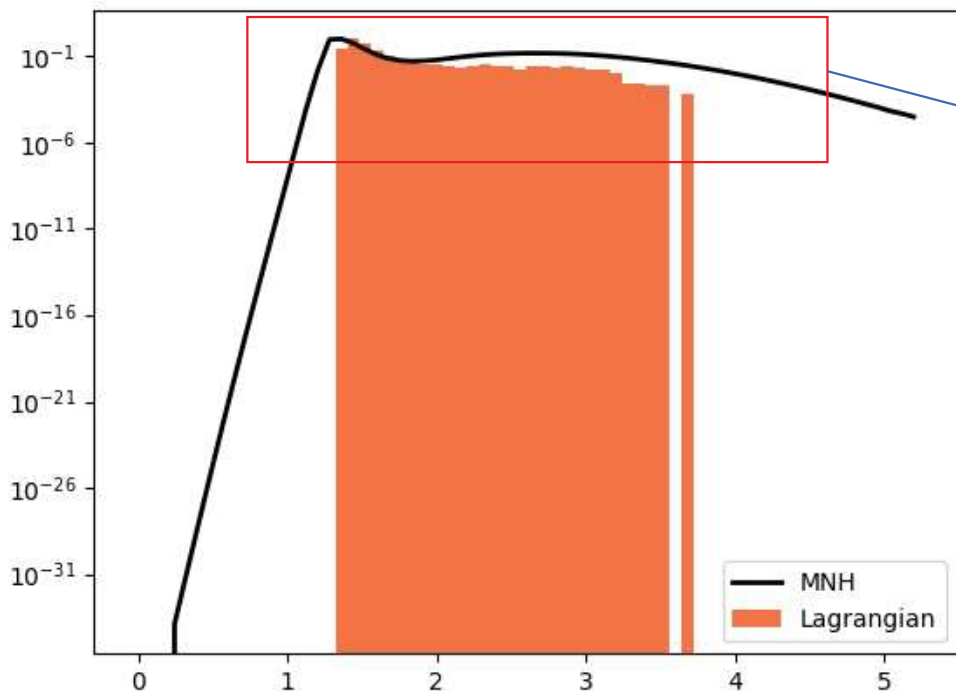
100 particles every 10 seconds
From t=200s until t=600s
= 4000 Lagrangian particles

1 kg/m²/s in 2 cells (160*80m²)
From t=200s until t=600s
= 900 kg/m²/s ??

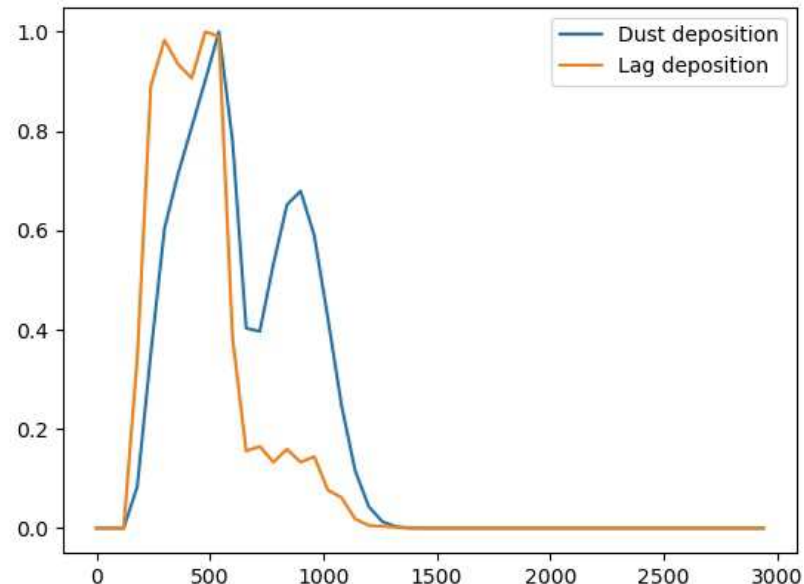
Basic comparison

Colours : Lagrangian, # of particles
Black : Eulerian, kg/m²/s of particles

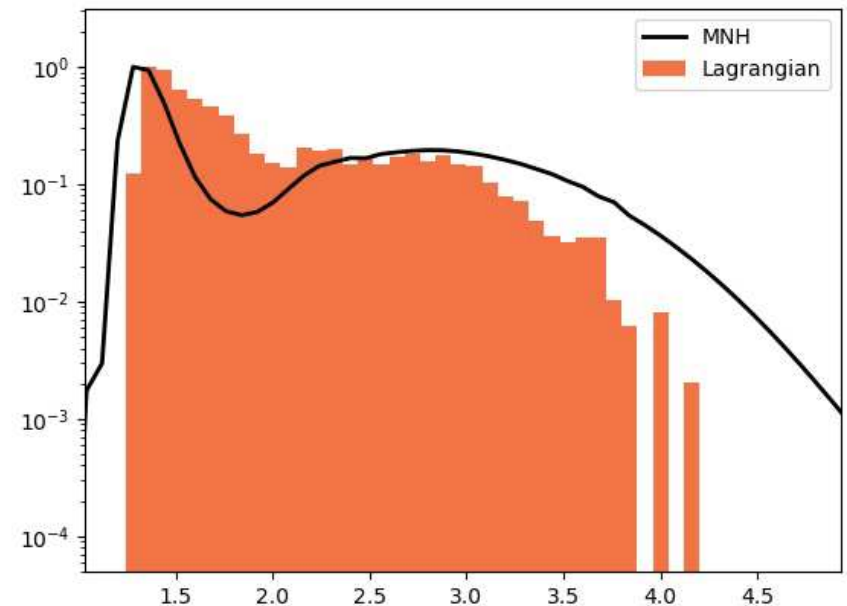
Comparison along x-axis



Temporal deposition

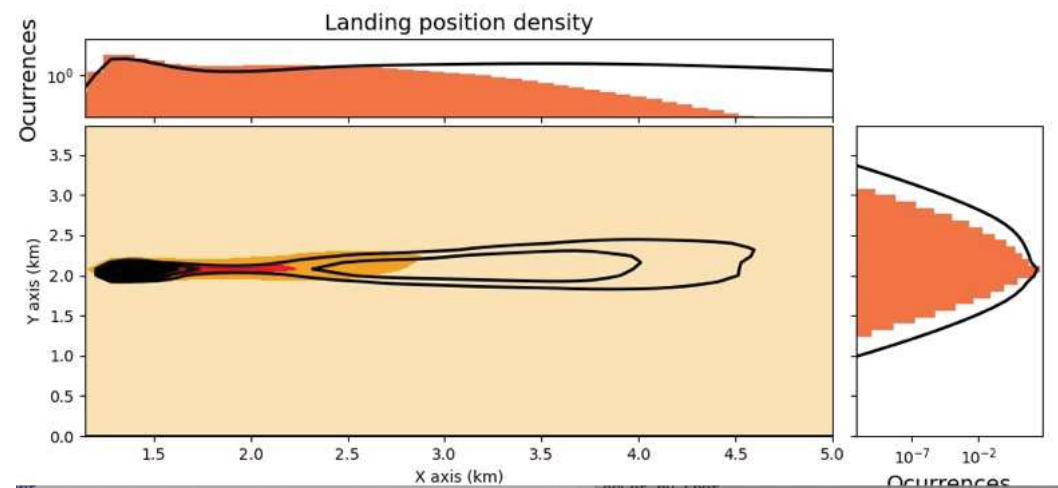


Normalized by
Max of #nb of particles (Lagrangian)
Max of kg/m²/s (Dust)

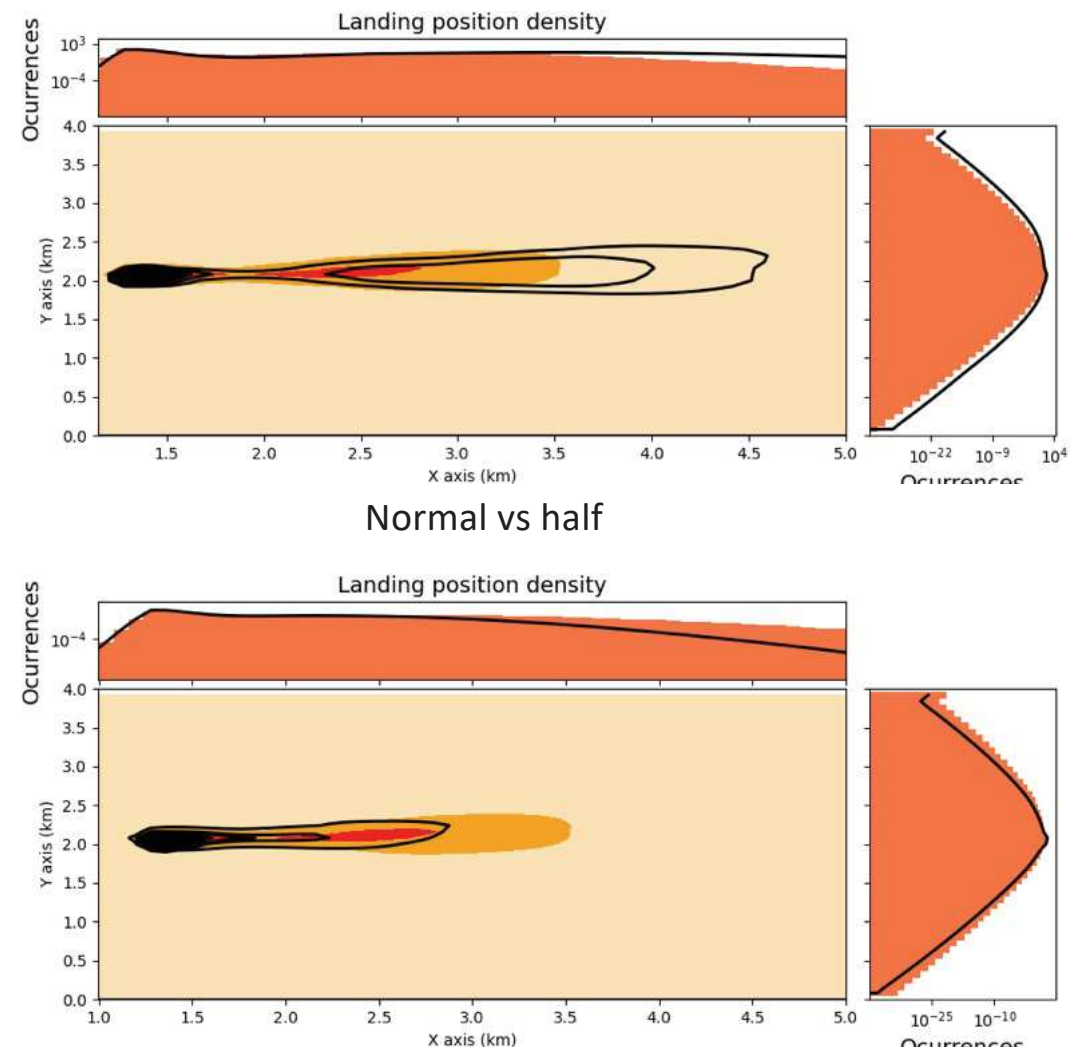


Spotting flux = 2.5 (4000/1600)

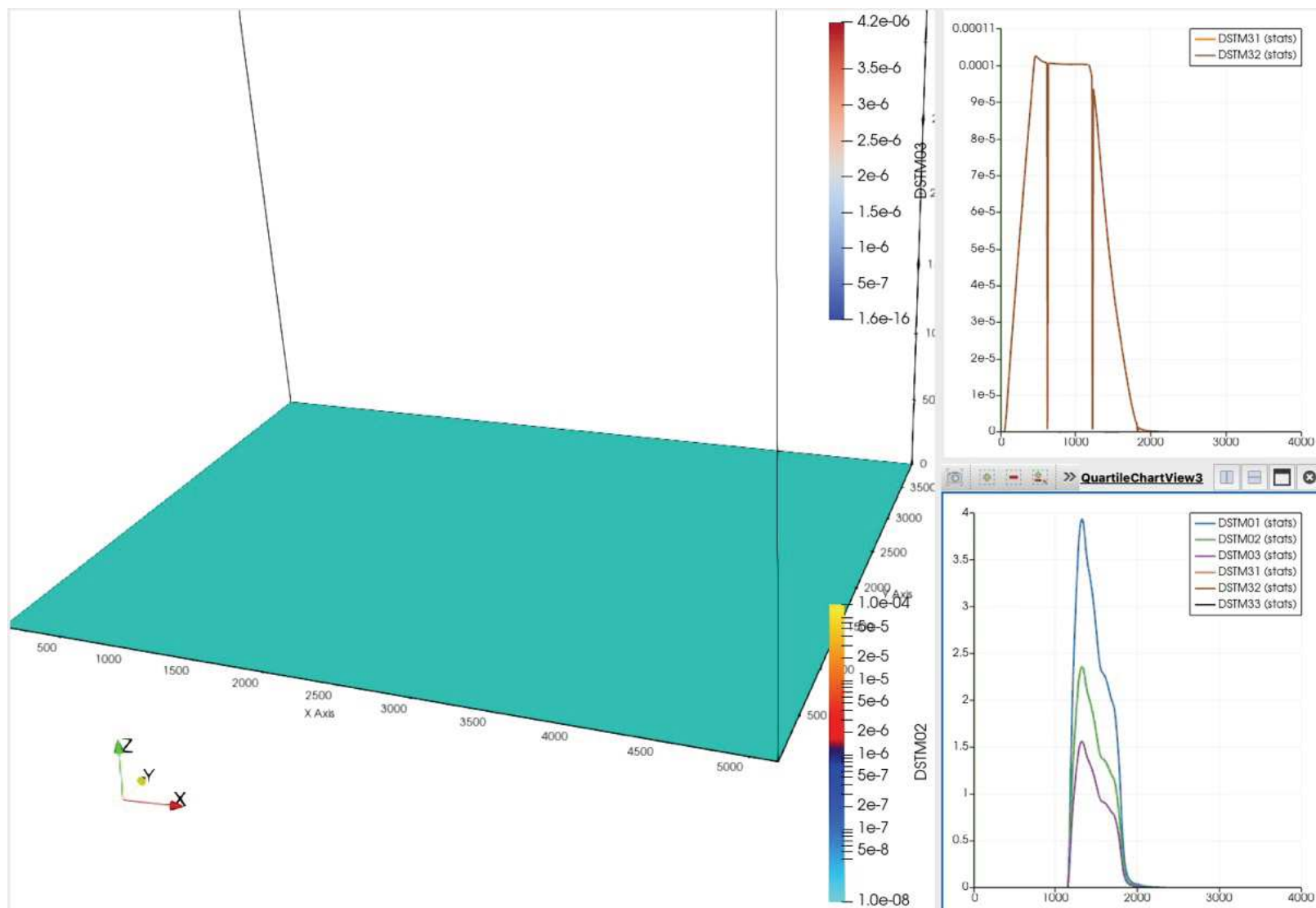
Influence V_t



Double vs half V_t



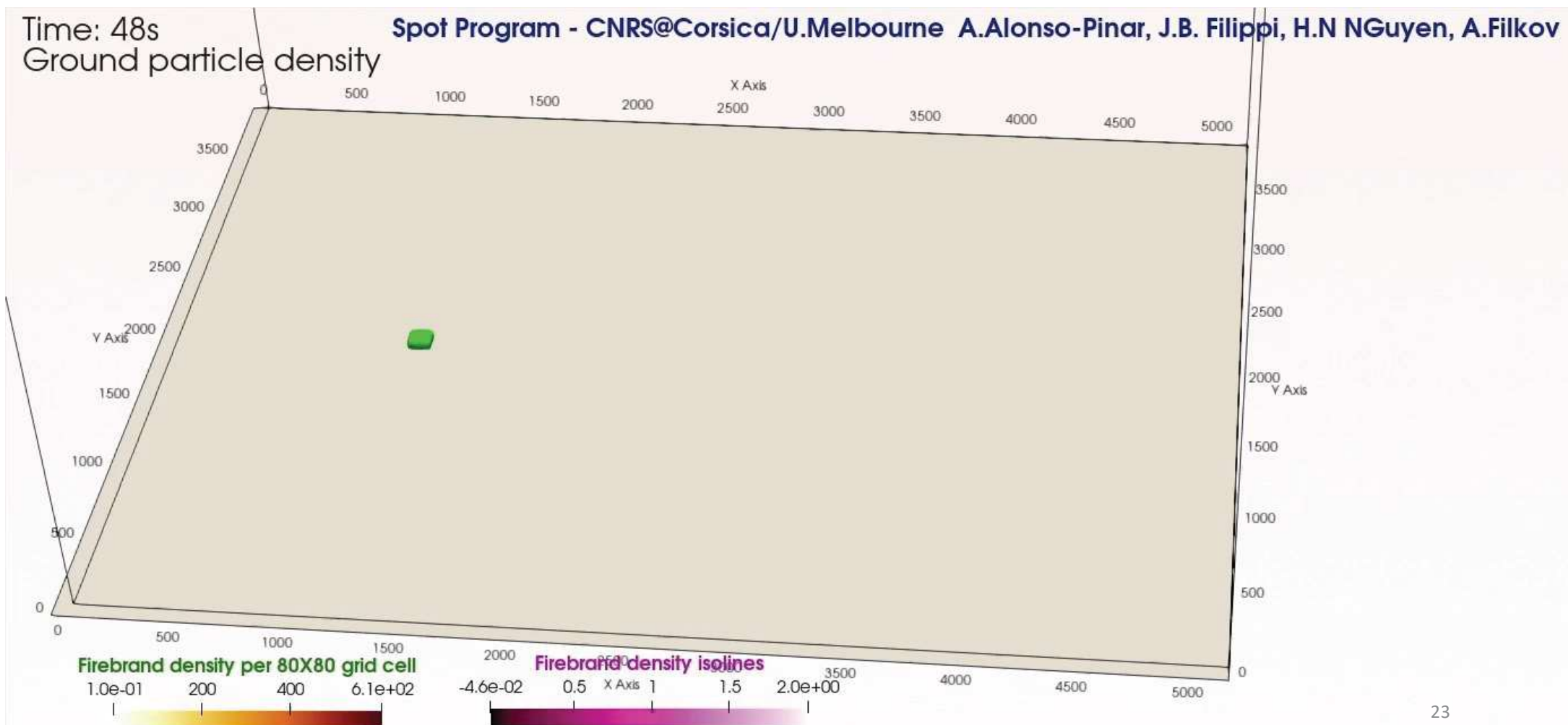
Eulerien – Bilans aux frontières



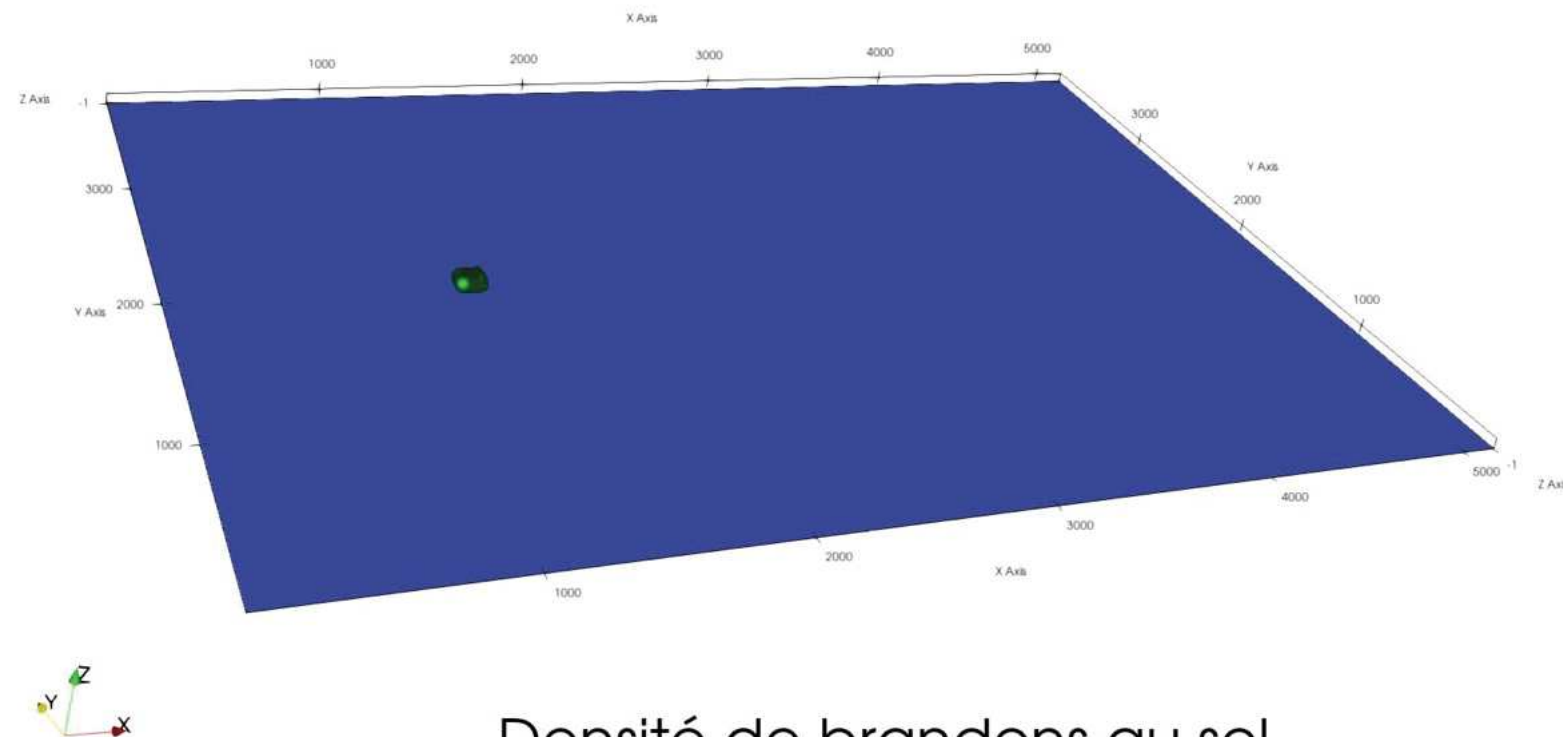
Deux modes : Des brandons aux cendres



Comparaison Eulerien/Lagrangien



Comparaison Eulerien/Lagrangien

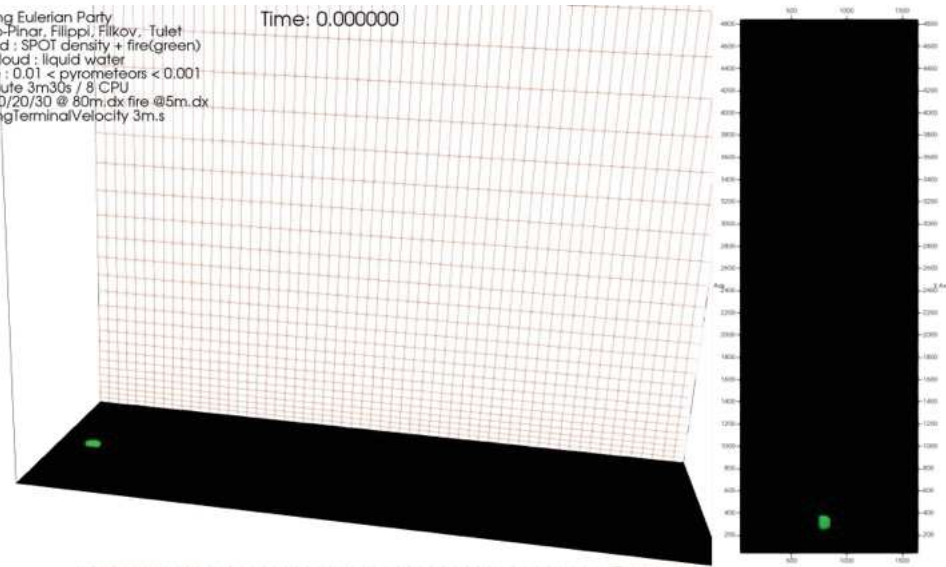


Densité de brandons au sol

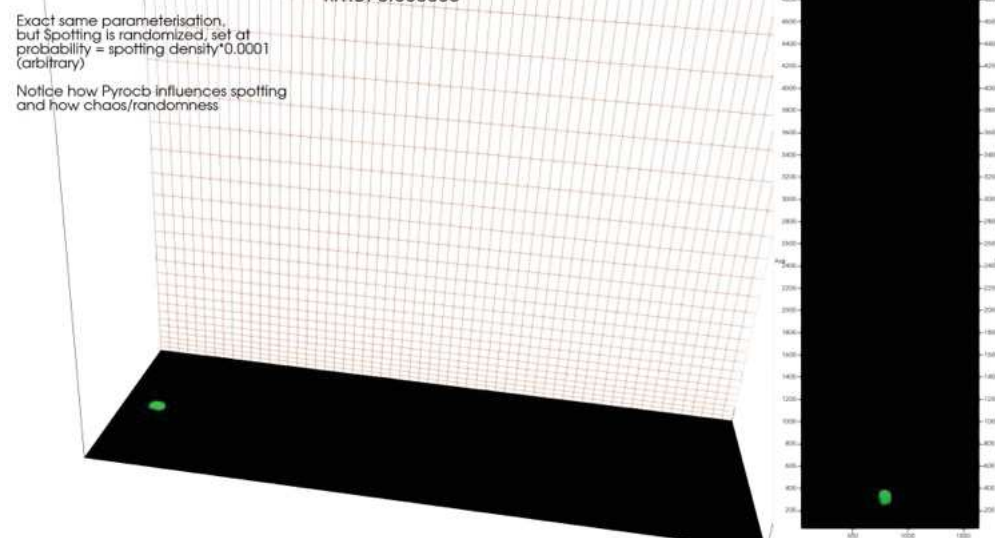
Essai de d'allumage – ensembles et aléatoire

Spotting Eulerian Party
Alonso-Pinar, Filippi, Pilkov, Tulet
Ground : SPOT density + fire(green)
Blue cloud : liquid water
purple : 0.01 < pyrometeors < 0.001
Compute 3m30s / 8 CPU
Grid 60/20/30 @ 80m, dx fire @5m, dx
SpottingTerminalVelocity 3m.s

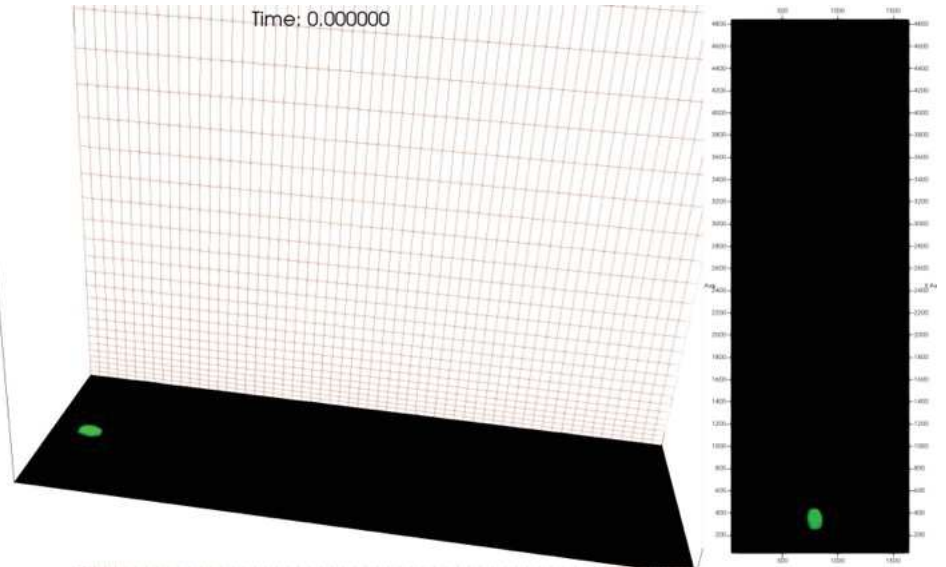
Time: 0.000000



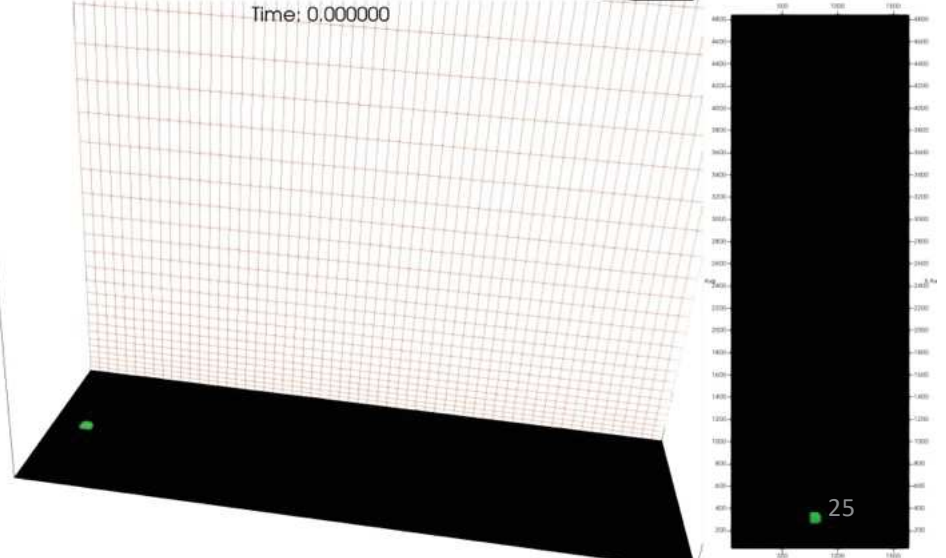
Time: 0.000000



Time: 0.000000

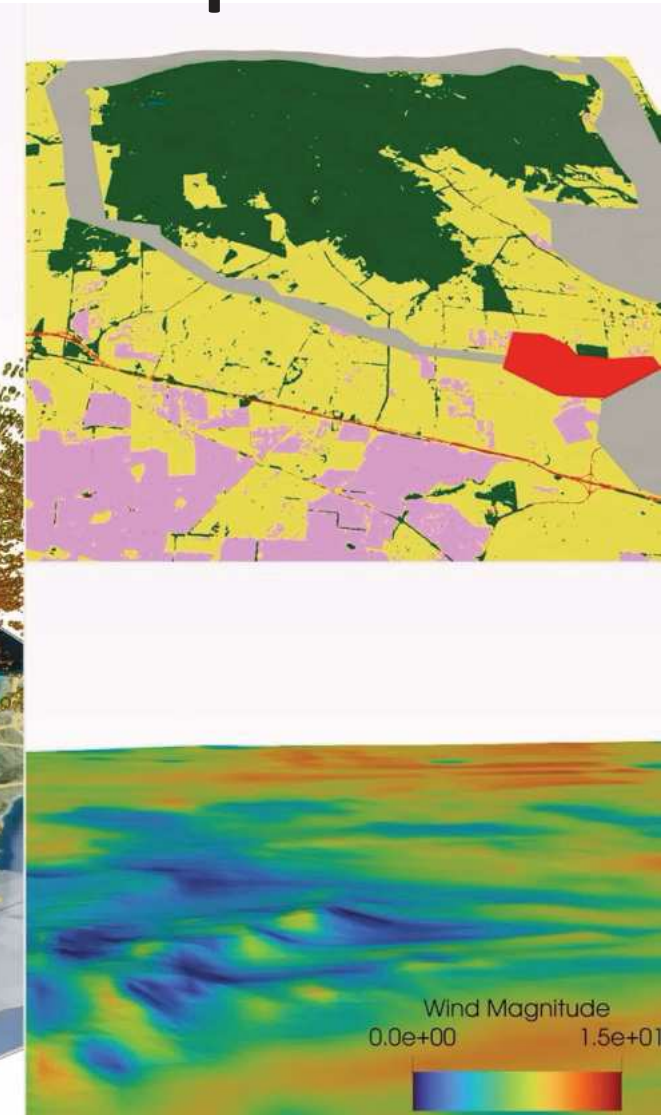
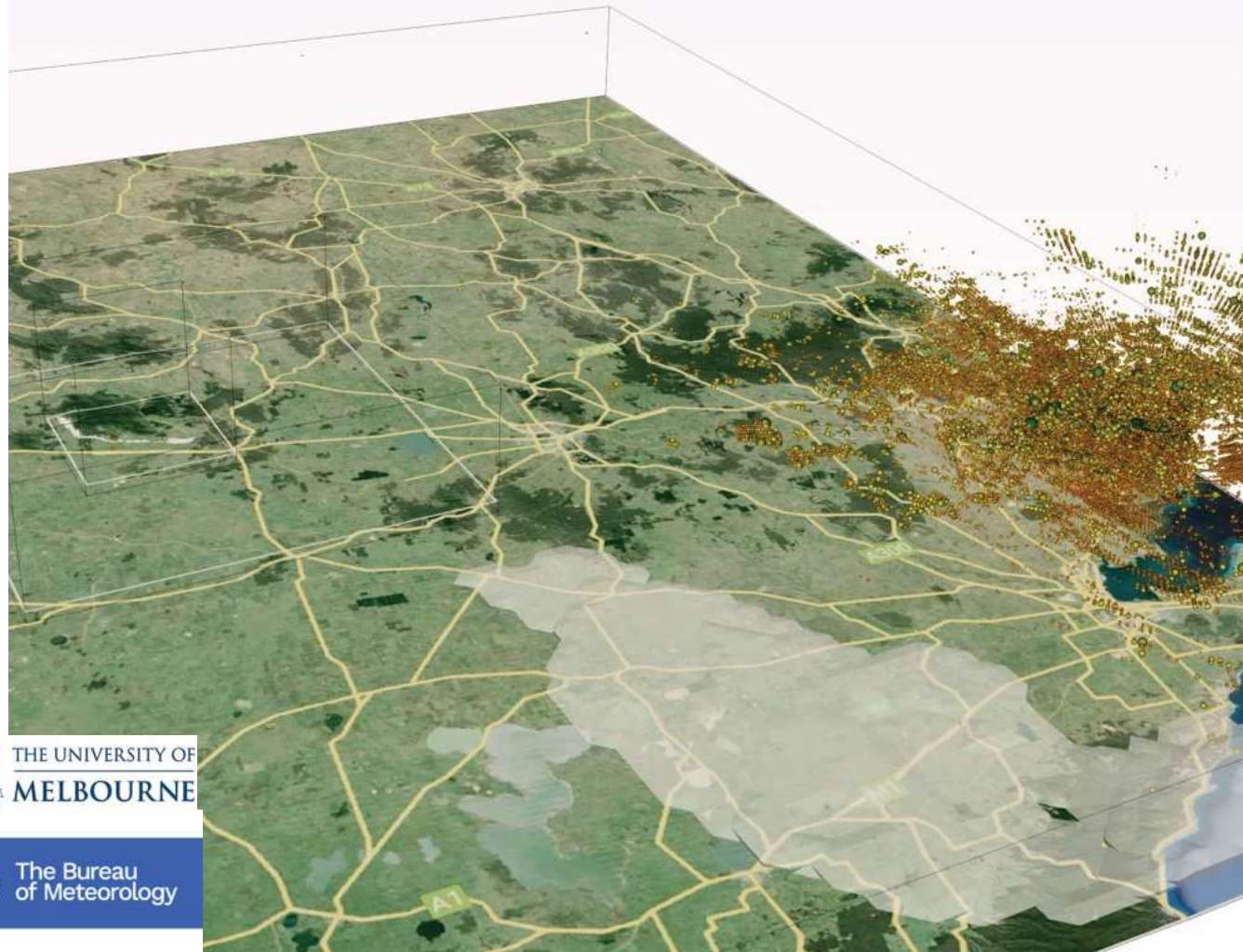


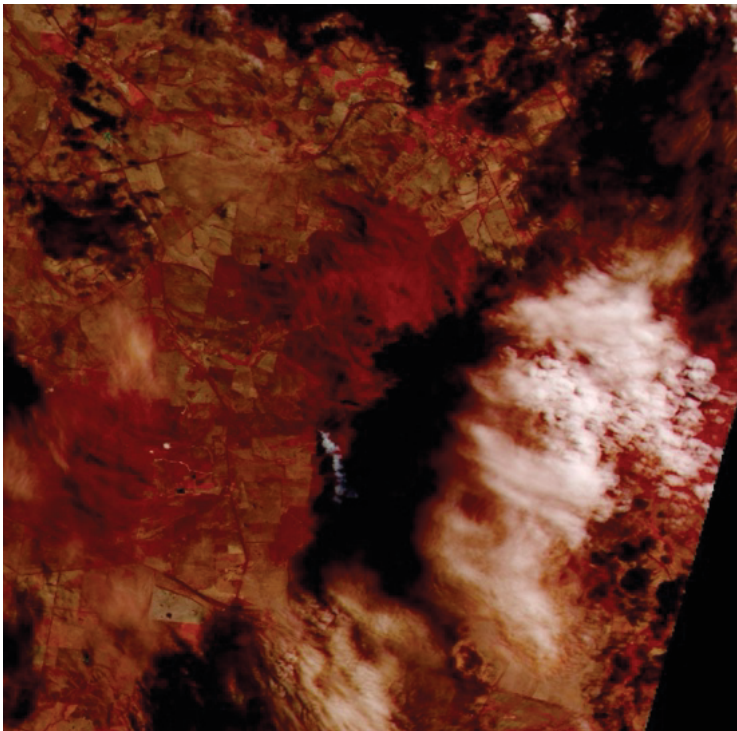
Time: 0.000000



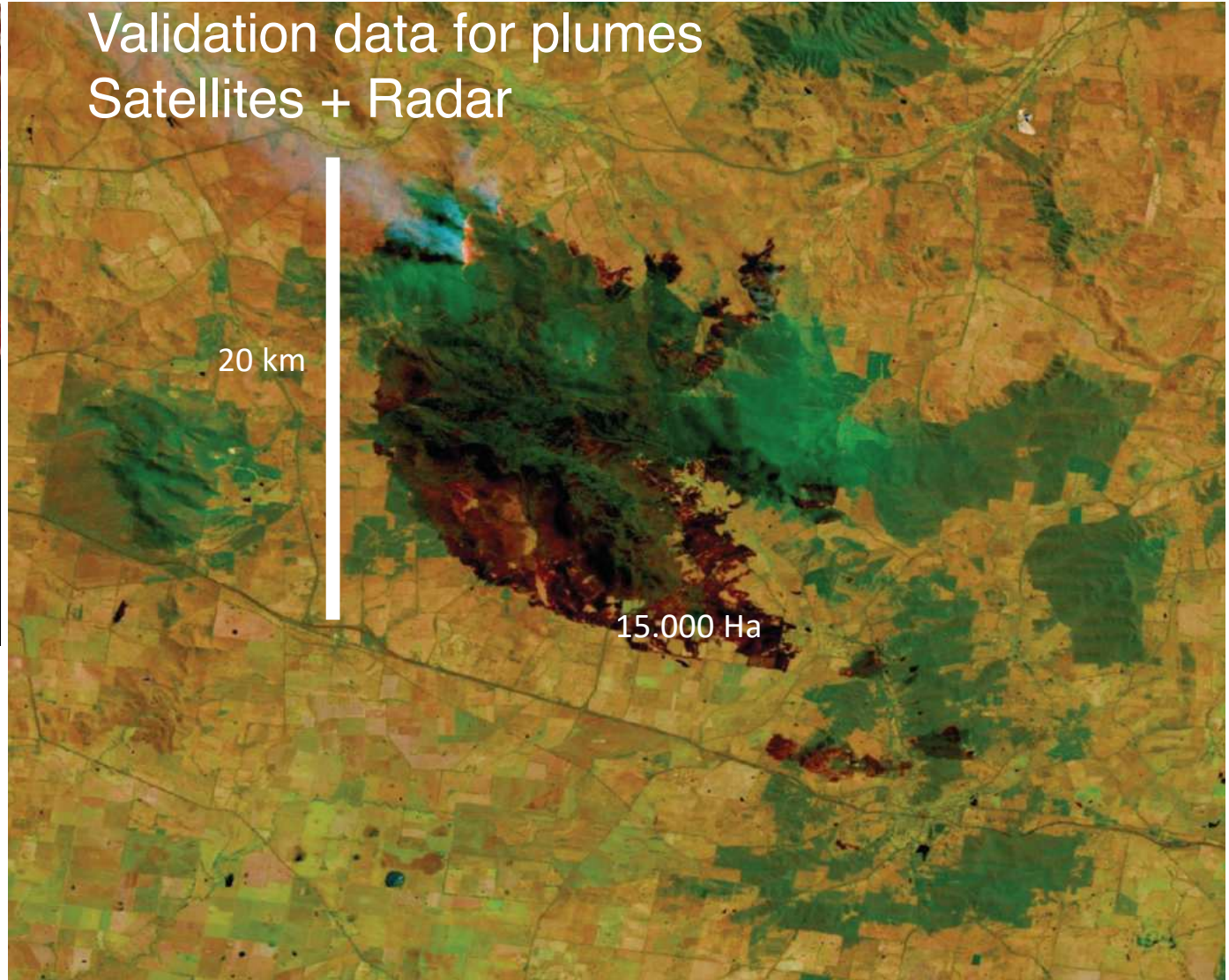
Comparaison au réel : le radar atmosphérique

22/02/2024 MtCole fire radar+ForeFireMesoNH - BOM/CNRS - Current Time: 12:06:00

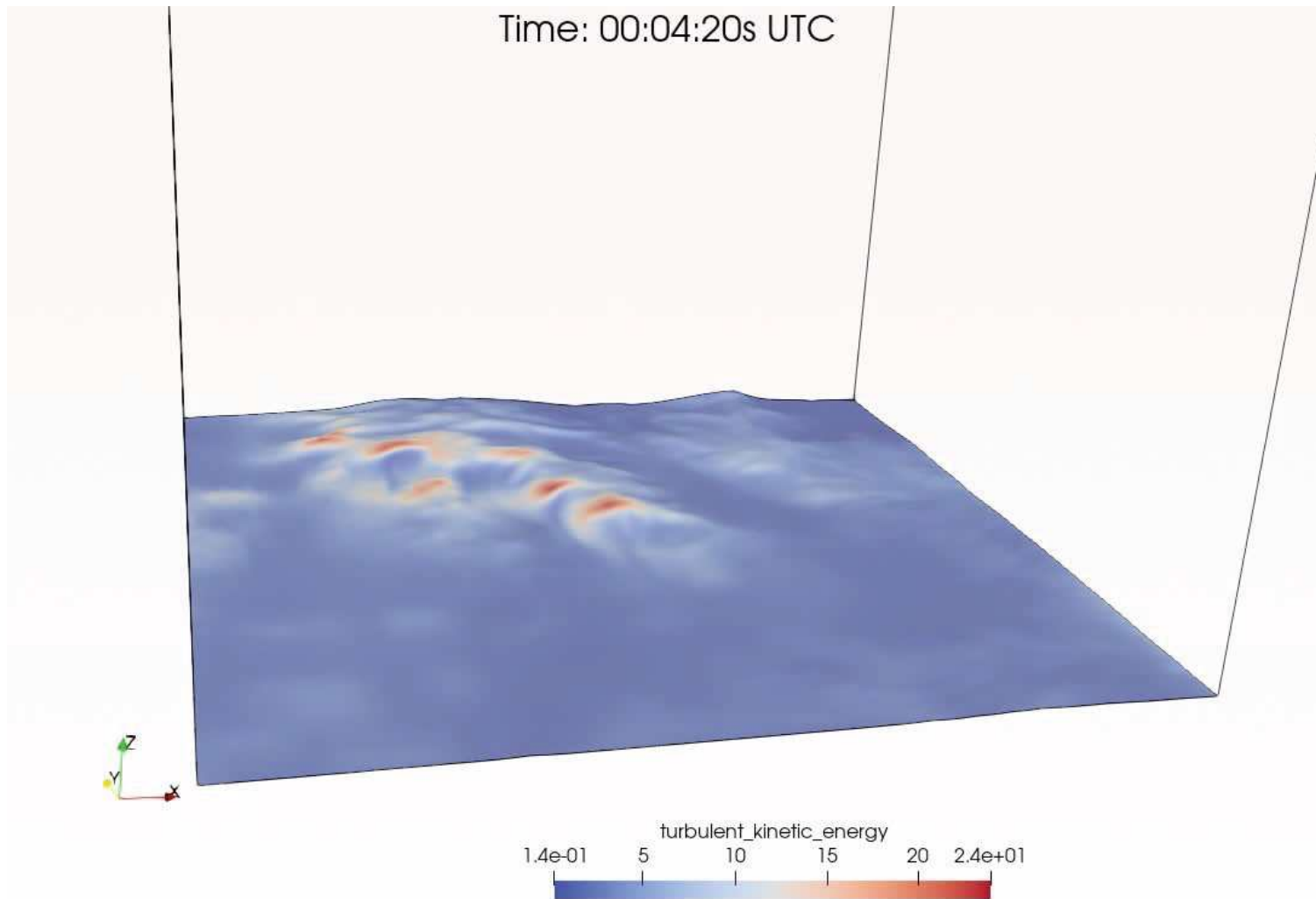




Mount Cole Fire
22/02/2024
Australie (Melbourne)
8000 Ha in 1 day
Images - Sentinel



Cas Réel - Mt Bolton – premier résultat





Conclusion :
Objectif : 12h de prévision
1h après éclosion :
OK

Bravo Alberto (Soutenance en Novembre)
Et merci à tous



LABORATOIRE
SCIENCES POUR
L'ENVIRONNEMENT
UMR 6134 SPE

